

新日本製鐵㈱ 大分製鐵所 小倉正美 ○中川淳一

鈴木信邦 國中朝夫 平田達朗

1. 緒言 ガス利用率 $\eta_{CO}$ 、ガス温度等から間接的に推定しているガス流速を直接測定することで炉内メカニズム解明の精度が大きく向上することが期待される。このため、高炉塊状帶ガス流速計の開発を行ったので、その概要を報告する。

2. 原理 (1) 炉内に挿入したプローブ冷却水の給排水温度差より受熱量 $Q_T$ を測定する。 $Q_T$ はガスからの対流伝熱量 $\eta_C$ と輻射伝熱量 $\eta_R$ で構成されている。 $Q_T = \eta_C + \eta_R$  .....(1)

(2)  $Q_T$ から(2)式により輻射伝熱量 $\eta_R$ の影響を除外し、対流伝熱量 $\eta_C$ を求める。 $\eta_R = 4.88 \times C \times [(T_s + 273)/100]^4 - [(T_p + 273)/100]^4$  .....(2)

$T_s$ : 装入物表面温度,  $T_p$ : プローブ表面温度,  $C$ : 輻射係数

(3) 対流伝熱量 $\eta_C$ からガス側熱伝達係数を算出し、(4)式のRanz-Marchallの式<sup>1)</sup>を利用して、ガス流速 $U_g$ を計算する。

$$h = \eta_C / (T_g - T_p) \dots\dots\dots(3)$$

$$= (\lambda g / d_p) \cdot (2.0 + 0.6 (C_g \cdot \mu_g / \lambda g)^{1/2} \cdot (\rho g U_g d_p / \mu g)^{1/2}) \dots\dots\dots(4)$$

$h$ : ガス側熱伝達係数,  $T_g$ : ガス温度,  $\lambda g$ : ガスの熱伝導率,  $C_g$ : ガス比熱,  $\mu g$ : ガス粘度,  $d_p$ : プローブ径,  $\rho g$ : ガス密度

### 3. オフライン・テストによる原理の検証

3-1 テスト装置 Fig 1 のような充填層に水冷二重管プローブを挿入し、冷却水給排水温度、ガス温度等を測定した。

3-2 輻射伝熱量の推定 Fig 2 に示すように、受熱量 $Q_T$ の測定値から(4)式による対流伝熱量の計算値を減じることで輻射伝熱量が求まる。これより、輻射伝熱量は、(2)式の係数 $C = 0.9$ とすることによって計算により求まることが判明した。

3-3 Ranz-Machall式適用の妥当性 (4)式より対流伝熱量は、 $\eta_C \propto U_g^{1/2} \cdot d_p^{-1/2}$  .....(5)

で整理できる。 $\eta_C$ の $U_g$ 及び $d_p$ に関する関係をFig. 3, 4に示した。グラフの勾配より(5)式の関係が満たされていることがわかりRanz-Machall式の適用の妥当性が検証できた。

4. 実炉テスト結果 Fig 5 に新日鐵大分製鐵所 2BF シャフト中部ゾンデを利用して行った実炉テスト結果を示す。中心流が発達したガス流速分布が測定できた。

5. 結言 高炉塊状帶ガス流速計の開発を行い、測定原理の確認ができた。今後、本センサーを活用し、高炉内のメカニズム解明と装入物分布制御アクションに結びつける為、信頼性向上、精度向上に務めたい。

文献 1) 化学工学便覧(丸善)

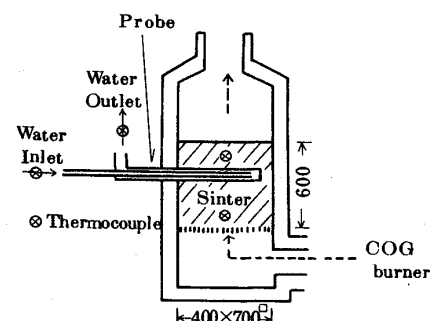


Fig. 1 Test equipment

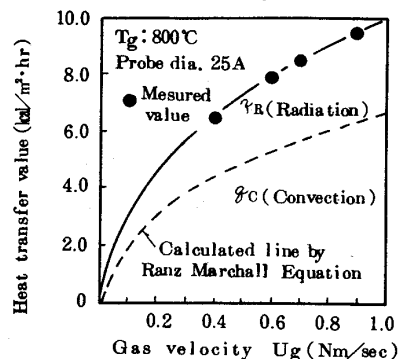


Fig. 2 Example of experimental results

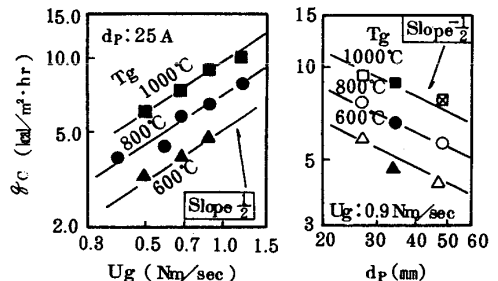
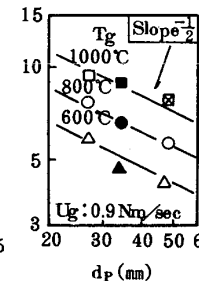
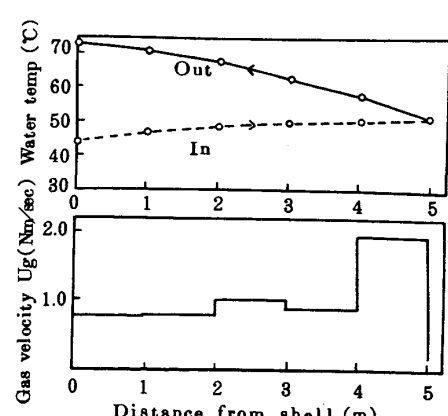
Fig. 3 Relation between  $q_c$  and  $U_g$ Fig. 4 Relation between  $q_c$  and  $d_p$ 

Fig. 5 Results in Oita 2BF